

## تأثیر بارگذاری دینامیکی بر نفوذپذیری توده سنگ درزه‌دار به روش شبکه‌ی درزه‌ی منفصل-روش المان مجزا

میثم لک<sup>۱\*</sup>، علیرضا باغبانان<sup>۲</sup>، حمید هاشم‌الحسینی<sup>۳</sup>

۱- دانشجوی کارشناسی ارشد، دانشکده مهندسی معدن، دانشگاه صنعتی اصفهان

۲- دانشیار، دانشکده مهندسی معدن، دانشگاه صنعتی اصفهان

۳- دانشیار، دانشکده مهندسی معدن، دانشگاه صنعتی اصفهان

(دریافت: تیر ۱۳۹۴، پذیرش: خرداد ۱۳۹۵)

### چکیده

بارگذاری دینامیکی پدیده‌ای است که ممکن است در طبیعت به توده سنگ اعمال شده و حتی باعث تغییر در برخی ویژگی‌های ژئومکانیکی آن شود. نفوذپذیری یکی از خواص مهم و حیاتی توده سنگ در پرتوهای معدنی و عمرانی است که ممکن است تحت تأثیر بارگذاری‌های دینامیکی مذکور، دچار تغییر شود. از طرفی طبیعت توده سنگ شامل شبکه‌ی شکستگی‌های مجزا است که می‌توان آن را با رویکرد تلفیقی شبکه‌ی درزه‌ی منفصل و روش المان مجزا (*DFN-DEM*) و نرم‌افزار *UDEC* مدل کرد. از این‌رو در این مطالعه، مدل‌سازی هیدرومکانیکی عددی تحت شرایط استاتیکی و دینامیکی به منظور مشخص کردن تأثیر بارگذاری دینامیکی بر نفوذپذیری محاسبه و با یکدیگر مقایسه شده‌اند. نتایج نشان می‌دهد که برخلاف در مدل‌ها شبیه‌سازی شده و مؤلفه‌های نفوذپذیری محاسبه و با یکدیگر مقایسه شده‌اند. نتایج نشان می‌دهد که برخلاف نظرات منعکس شده در مطالعات قبلی، بارگذاری دینامیکی قابلیت انتقال درزه‌ها را تغییر داده و به تبع آن نفوذپذیری توده سنگ درزه‌دار را تحت تأثیر قرار می‌دهد. با وجود سختی نسبتاً بالای درزه‌ها در این مطالعه، نفوذپذیری محاسبه‌شده در شرایط بارگذاری دینامیکی به میزان ۲۶٪ بیشتر از بارگذاری استاتیکی است. علت عدمه‌ی این مسئله جابه‌جا‌بی پی‌درپی بلوک‌ها طی بارگذاری دینامیکی و تا حدود اندکی تغییر در نحوه‌ی قرارگیری آنها نسبت به حالت قبل از عبور موج است.

### کلید واژه‌ها

زلزله، تحلیل دینامیکی، شبکه‌ی درزه‌ی مجزا، نفوذپذیری، *UDEC*

### ارجاع به این مقاله:

لک، م، باغبانان، ع، هاشم‌الحسینی، ح، تأثیر بارگذاری دینامیکی بر نفوذپذیری توده سنگ درزه‌دار به روش شبکه‌ی درزه‌ی منفصل-روش المان مجزا، روش‌های تحلیلی و عددی در مهندسی معدن، ۱۱(۱)، ۱۰۱-۱۱۱.

## ۱- مقدمه

تحقیقاتی به عمل آمده است [۷]. به دست آوردن تنفسور نفوذپذیری معادل برای تودهسنگ درزهدار نیز یکی از زمینه‌های تحقیقات هیدرومکانیکی است که در گذشته به بررسی آن پرداخته شده است [۸]. همان‌طور که گفته شد، مطالعات پیشین در زمینه‌ی هیدرومکانیک تودهسنگ گسترده بوده و حتی در مطالعاتی تأثیر سطح تنفس اعمالی بر نفوذپذیری تودهسنگ درزهدار نیز بررسی شده است [۵، ۶، ۱۱-۹]. اما خلاً بررسی تأثیر نوع تنفس (استاتیکی یا دینامیکی) بر میزان نفوذپذیری تودهسنگ احساس می‌شود. لازم به ذکر است که برخلاف تصور عام، تأثیر امواج دینامیکی و تبعات آن همیشه مخرب و مضر نیست و در مواردی می‌تواند مفید و کاربردی باشد. به عنوان مثال در صنعت نفت و گاز امواج دینامیکی گاهی می‌توانند باعث افزایش تولید یک چاه و کاهش هزینه‌ی حفر چاههای متعدد و یا افزایش بهره‌دهی یک حوزه‌ی نفتی یا گازی شوند [۱۵-۱۲].

با توجه به مطالب عنوان شده، در این تحقیق سعی شده است که تأثیر نوع بارگذاری بر روی نفوذپذیری تودهسنگ بررسی شود. با این بررسی می‌توان به طور دقیق اثر اعمال تنفسی دینامیکی را بر نفوذپذیری تودهسنگ مشاهده کرد. برای اینکه نتایج حاصل از روش‌های عددی هر چه بیشتر به واقعیت نزدیک باشد، لازم است که مدلسازی کامل و شامل تمام خصوصیات و شرایط زمین باشد. به همین منظور برای شرایط مرزی دینامیکی در این مطالعه از اطالعات یک زلزله‌ی واقعی بهره گرفته شده است. برای مشخص شدن تأثیر بارگذاری دینامیکی موردنظر بر نفوذپذیری تودهسنگ، مدلسازی‌ها در این مطالعه در دو گروه انجام شده است. گروه ۱ مدل‌های هستند که بدون بارگذاری دینامیکی (در شرایط استاتیکی) مورد نفوذ جریان سیال قرار گرفته و نفوذپذیری‌شان محاسبه شده است. در گروه ۲ همان مدل‌ها تحت بارگذاری دینامیکی قرار گرفته و سپس مورد نفوذ جریان سیال قرار می‌گیرند و نفوذپذیری‌شان در این مرحله محاسبه می‌شود. در نهایت نفوذپذیری هر دو گروه با یکدیگر مقایسه شده و مورد بحث قرار می‌گیرد. شرح کلیه‌ی مراحل مدلسازی در ادامه به تفصیل آمده است.

مشخصات هیدرولیکی تودهسنگ مانند نفوذپذیری<sup>۱</sup> و قابلیت هدایت هیدرولیکی<sup>۲</sup> از جمله پارامترهای مهم در بحث رفتار هیدرومکانیک تودهسنگ هستند. اهمیت این پارامترها در مقوله‌ی آب‌های زیرزمینی، مخازن نفتی و گازی، مخازن دفن زباله‌های هسته‌ای و در کل چگونگی و نحوه انتقال هر نوع سیال در داخل تودهسنگ بیشتر نمود پیدا می‌کند. به عنوان مثال اگر در یکی از پروژه‌های مهم و حیاتی مذکور، میزان نفوذ جریان سیال از مقدار پیش‌بینی شده بیشتر و یا حتی کمتر شود، می‌تواند خدمات و خسارات زیادی وارد کند. در مطالعات ژئومکانیکی اگر بررسی چند عامل به صورت همزمان یا پی درپی مدنظر باشد، به آن بررسی رفتار تؤمنان تودهسنگ اطلاق می‌شود. از جمله این رفتار تؤمنان می‌توان به رفتار هیدرومکانیکی<sup>۳</sup> تودهسنگ اشاره کرد. مطالعاتی که در زمینه‌ی هیدرومکانیک تودهسنگ انجام می‌گیرند، عمدهاً تأثیر همزمان وجود یا جریان سیال را در مقابل تغییر شکل در سنگ و ترک بررسی می‌کنند. بررسی رفتار تؤمنان می‌تواند شامل شرایط مرزی متفاوتی باشد. شرایط مرزی مورد بحث در این مطالعه، اعمال تنفس به دو صورت استاتیکی و دینامیکی است که در نهایت تأثیر همین شرایط بر نفوذپذیری تودهسنگ منطقه‌ی موردمطالعه بررسی خواهد شد.

با توجه به موارد ذکر شده ضرورت بررسی تأثیر نوع بارگذاری بر تودهسنگ و چگونگی انتقال سیال در آن احساس می‌شود. تاکنون به طور جداگانه تأثیر عوامل مختلف بر روی خصوصیات هیدرومکانیکی تودهسنگ در شرایط متفاوت موردنظری قرار گرفته است. به عنوان مثال، ارتباط بین جریان ورودی به توغل، زاویه‌ی اصطکاک داخلی ترک و میزان سختی برشی بررسی شده است [۱]. در اطراف فضاهای زیرزمینی معمولاً یک ناحیه‌ی خردشده به وجود می‌آید که مطالعاتی نیز در زمینه‌ی مدلسازی هیدرومکانیکی این ناحیه به انجام رسیده است [۴-۲]. همچنین تحقیقات گسترده‌ای در زمینه‌ی بررسی تأثیر مقیاس روی خصوصیات هیدرومکانیکی تودهسنگ درزهدار انجام گرفته است [۵، ۶]. در این زمینه برای مشخص کردن اثرات هیدرومکانیکی حفر چاه در محیط‌های شکسته نیز

*FracIUT<sup>2D</sup>* جهت تولید شبکه‌ی درزه از کد استفاده شده است که با الگوریتم مونت‌کارلو، کلیه‌ی پارامترهای هندسی تک تک درزه‌ها را به طور مجرا و مبتنی بر توزیع آماری آن پارامتر در آن دسته درزه تولید می‌نماید. پارامترهای هندسی‌ای که توسط *FracIUT<sup>2D</sup>* برای تک تک درزه‌ها تولید می‌شوند عبارت‌اند از: مکان درزه (که این پارامتر به صورت تولید مؤلفه‌های مختصات محلی مرکز درزه بیان می‌شود)، جهت‌یافته‌گی (شامل دو مؤلفه‌ی جهت شیب و زاویه‌ی شیب درزه)، اندازه‌ی درزه (که این پارامتر تابعی از سطح و طول اثر درزه است و بر مبنای آن تولید می‌شود) و بازشدگی دهانه‌ی درزه. برای اینکه درزه‌های تولیدی، مدلی واقعی‌تر ارائه کنند، لازم است تعداد درزه‌های تولیدی از هر دسته درزه بر مبنای چگالی برداشت‌شده از آن دسته درزه در واحد حجم باشد [۱۶]. در جدول ۱ مشخصات هندسی درزه‌های مورد استفاده برای ساخت *DFN* آورده شده است. لازم به ذکر است که ۱۰ مدل هندسی ساخته شده در این مطالعه صرفاً گوهرهای مختلفی از شکستگی‌های تولیدشده در منطقه‌ی مورد مطالعه هستند که نرم‌افزار مذکور به دلیل ماهیت توزیع آماری تولید کرده است. همچنین گوهرهای ترک در منطقه‌ی مورد مطالعه از نظر شیب، بیشتر نزدیک به قائم هستند و این مسئله در شکل ۱، که جهت‌یافته‌گی درزه‌ها را در یکی از مدل‌ها به عنوان نمونه نشان می‌دهد، مشهود است. در شکل ۲ نیز نمونه‌ای از هندسه‌ی کلی مدل‌های اصلی نشان داده شده است.

جدول ۱: مشخصات هندسی درزه‌ها [۱۷، ۸، ۵، ۱۹-۲۰]

دسته درزه	میانگین شیب	میانگین جهت شیب	ثبت فیشر (K)	چگالی درزه‌داری ( $m^{-2}$ )	میانگین طول اثر (m)
۰/۹۲	۴/۶	۵/۹	۱۴۵	۸	۱
۰/۹۲	۴/۶	۹	۱۴۸	۸۸	۲
۰/۹۲	۴/۶	۱۰	۲۱	۷۶	۳
۰/۹۲	۴/۶	۱۰	۸۷	۶۹	۴

عبور داده شده است. گروه ۲ مدل‌هایی هستند که پس از مدلسازی هندسی و تعادل استاتیکی، زلزله‌ی موردنظر را نیز تجربه کرده‌اند و سپس جریان سیال از داخل آنها عبور داده شده است. در حقیقت مدل‌های گروه ۲، همان مدل‌های گروه ۱ قبل از جریان سیال هستند که تحت بارگذاری دینامیکی قرار می‌گیرند.

## ۲- روش مدلسازی

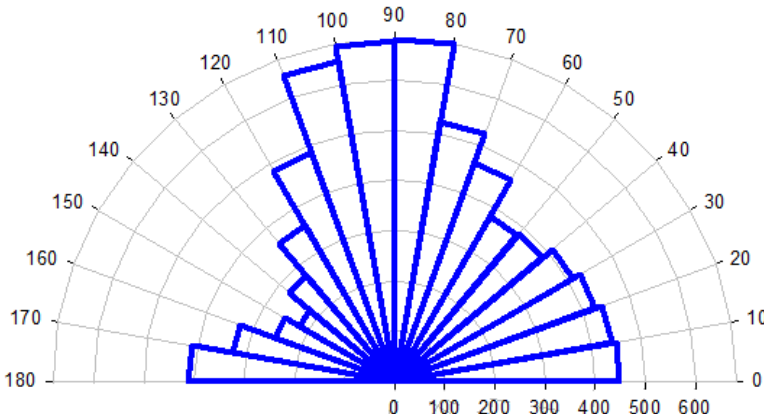
در این تحقیق ۱۰ مدل با ابعاد  $۲۰ \times ۲۰$  متر که در آنها ناپیوستگی‌ها به صورت شبکه‌ی درزه ای (DFN) وجود دارند، با استفاده از نرم‌افزار *FracIUT<sup>2D</sup>* [۱۶] ساخته شده و کلیه‌ی مراحل استاتیکی، دینامیکی و هیدرولیکی تحلیل روی این مدل‌ها انجام شده است. دلیل انتخاب این ابعاد برای مدل‌ها، از بین بردن اثر مقیاس بوده است. زیرا بر اساس تحقیقات گذشته مدلی با این ابعاد در حیطه‌ی حجم اولیه‌ی معروف<sup>۴</sup> قرار دارد و با انتخاب آن اثر مقیاس از بین می‌رود [۱۷]. همچنین تعدد مدل‌ها باعث از بین بردن اثر خصوصیات مربوط به ساخت شبکه‌ی درزه ای مجزا و خصوصیات مکانیکی مدل‌ها، مربوط به سایت سلافیلد<sup>۵</sup> در کامبریا<sup>۶</sup> واقع در انگلستان است.

## ۲-۱ مدلسازی هندسی درزه‌ها

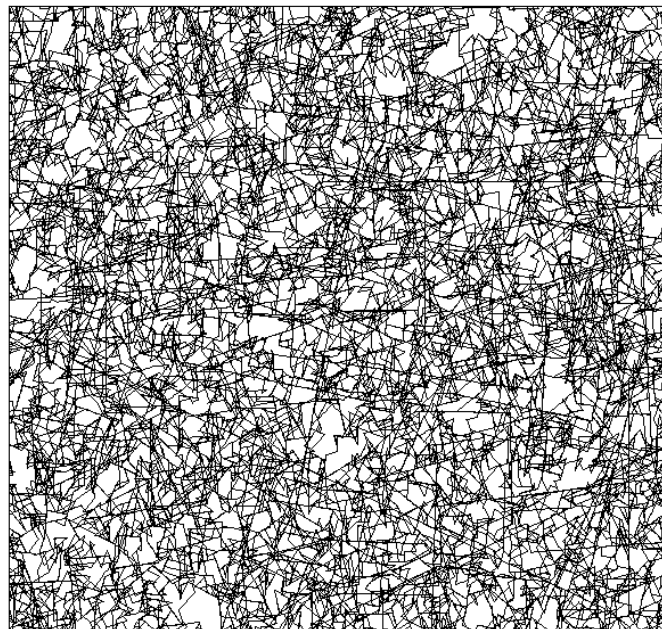
سیستم هندسی و طرز قرار گرفتن درزه‌ها در توده‌سنگ بسیار پیچیده است. کیفیت و کمیت پارامترهای هندسی برداشت شده از درزه‌های منطقه‌ی مورد مطالعه که در دیدرس قرار دارند، محدود و غیرقابل اطمینان است. راه حل عمدۀ برای از بین بردن این عدم قطعیت و نزدیک کردن سیستم درزه ترک‌های موجود در زیر سطح زمین به واقعیت، استفاده از شبکه‌ی درزه‌های مجزای<sup>۷</sup> تصادفی (*DFN*) با فرض توزیع آماری مشخصات هندسی ترک‌ها است [۱۸، ۱۷].

## ۲-۲ مدلسازی مکانیکی - هیدرولیکی

در مطالعه‌ی حاضر مدلسازی‌ها در دو گروه صورت پذیرفته‌اند. گروه ۱ مدل‌هایی هستند که پس از مدلسازی هندسی و ساخت شبکه‌ی درزه ای مجزا، تحت تعادل استاتیکی قرار گرفته و بعد از آن جریان سیال از داخل آنها



شکل ۱: نمونه‌ای از نمودار شبیه درزه‌ها. محور شعاعی فراوانی درزه‌ها را نشان می‌دهد.

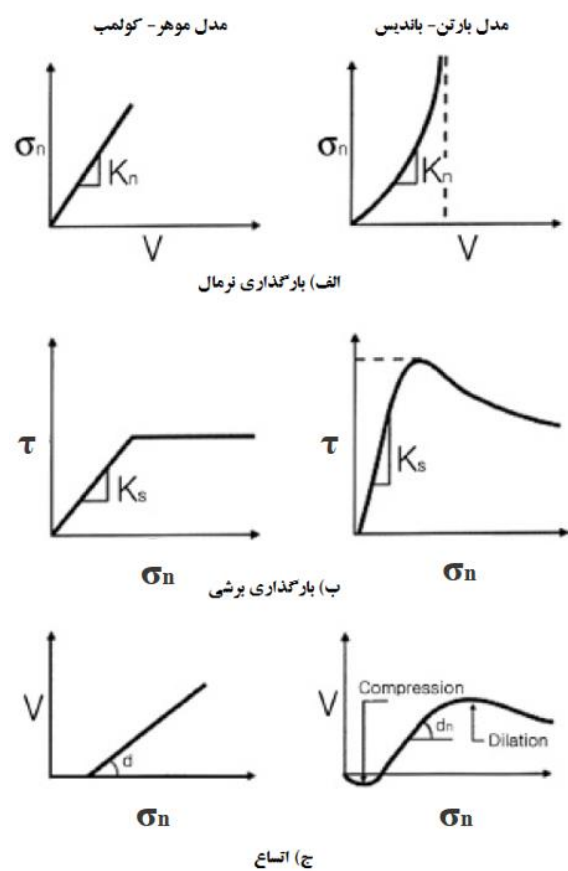


شکل ۲: نمونه‌ای از هندسه‌ی کلی مدل‌های ساخته شده

آن برای تشخیص عبور جریان سیال در اطراف یک مخزن زباله‌های هسته‌ای<sup>۹</sup> استفاده شده است [۱۹].

در اکثر مطالعات انجام شده‌ی پیشین، رفتار ناپیوستگی‌ها با مدل موهر-کولمب بیان شده است. ولی مدل موهر-کولمب پارامترهای  $c$  و  $\phi$  را ثابت می‌گیرد. ثابت فرض کردن پارامترهای  $c$  و  $\phi$  در واقعیت صحیح نیست، چون این پارامترها وابسته به سطح تنیش و مقیاس هستند. استفاده از مدل‌های خطی با سختی‌های نرمال و برشی ثابت، وقتی که سطح تنیش ثابت نباشد ایجاد محدودیت می‌کند. زیرا سختی‌های نرمال ( $K_n$ ) و برشی ( $K_s$ ) به طور کاملاً معنی دار با تغییرات سطح تنیش تغییر می‌کنند. بنابراین مدل‌های خطی برای ناپیوستگی‌ها چندان مناسب نیستند و در عوض مدل‌های غیرخطی همچون مدل بارت-

از آنجایی که مدل‌های ساخته شده در تمام مراحل استاتیکی، دینامیکی و هیدرولیکی استفاده می‌شوند، هندسه‌ی مدل‌ها باید منطبق بر کلیه‌ی مراحل کار باشد. برای اینکه در مرحله‌ی دینامیکی، شبکه‌ی درزه بعد از گذشت چند مرحله‌ی محاسباتی دچار فروپاشی نشود، باید مدل اصلی که شامل شبکه‌ی درزه‌های مجزا می‌شود را در داخل ۸ بلوك دیگر قرار داد. در این صورت مانند شکل ۳ مدلی بزرگتر به ابعاد  $60 \times 60$  متر و شامل ۹ بلوك بزرگ ایجاد می‌شود که برای ۸ بلوك کناری از  $E_{mass}$  و برای ماده سنگ موجود در بلوك مرکزی (که در حقیقت بلوك اصلی است)، از  $E_{intact}$  استفاده شده است. این روش، به تئوری بلوك-در-بلوك<sup>۱۰</sup> موسوم است که در مطالعات پیشین از



شکل ۴: تفاوت مدل‌های رفتاری موهر-کولمب و بارتون-باندیس [۲۱]

جدول ۲: مشخصات مکانیکی سنگ بکر [۱۹]

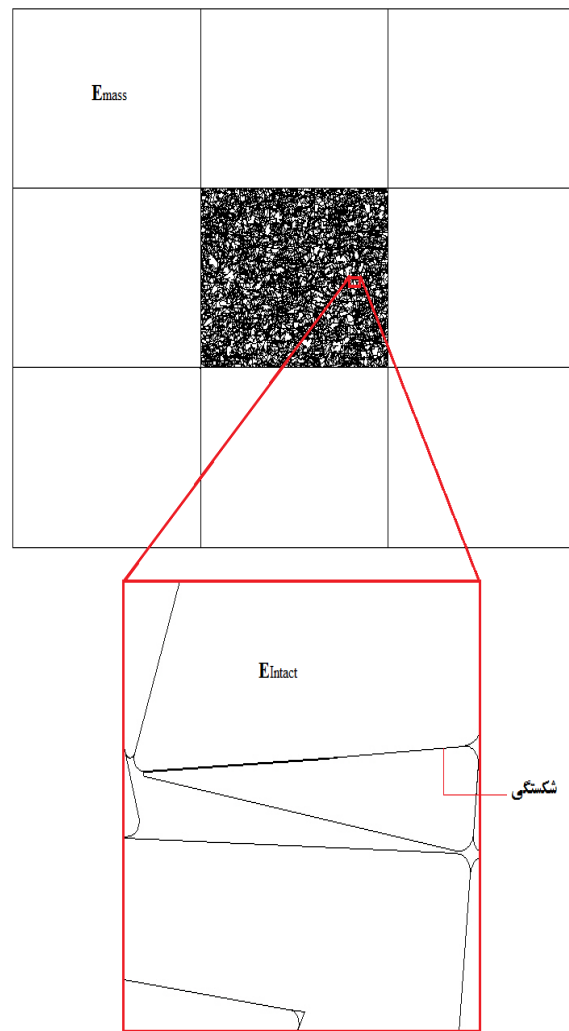
پارامتر	نماد	واحد اندازه‌گیری	مقدار
$2750$	$kg/m^3$	$\rho$	دانسیته
$84$	$GPa$	$E$	مدول یانگ
$0.24$	-	$\nu$	ضریب پواسون
$157$	$MPa$	$UCS$	مقاومت فشاری تک محوری

پارامتر	نماد	واحد اندازه‌گیری	مقدار
$3.85$	-	$JRC$	ضریب زبری ترک
$112/2$	$MPa$	$JCS$	مقاومت فشاری دیواره‌ی ترک
$444000$	$MPa/m$	$K_n$	سختی نرمال
$444000$	$MPa/m$	$K_s$	سختی برشی
$27/2$	درجه	$\Phi_r$	زاویه اصطکاک باقیمانده
$0.065$	$mm$	$a_i$	بازشدگی اولیه

جدول ۳: مشخصات مکانیکی درزه‌ها مربوط به معیار بارتون-باندیس [۱۹]

باندیس رفتار ناپیوستگی‌ها را هنگام تغییر در سطح تنش بهتر نشان می‌دهند. همچنین در مدل موهر-کولمب زاویه‌ی اتساع<sup>۱۰</sup> ثابت فرض شده است در حالی که در مدل بارتون-باندیس این پارامتر نیز وابسته به تنش بوده و طی سیکل‌های بارگذاری تغییر می‌کند [۲۱، ۲۰]. شکل ۴ تفاوت مدل‌های رفتاری موهر-کولمب و بارتون-باندیس را نشان می‌دهد.

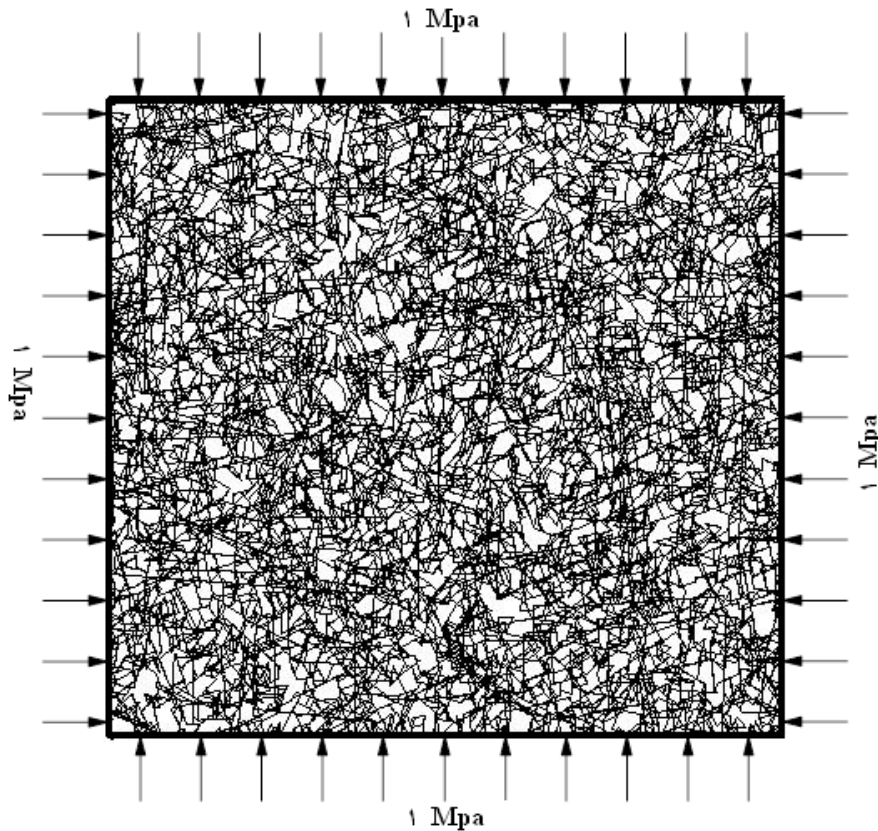


شکل ۳: نمونه‌ای از مدل‌های ساخته شده به روش بلوك-در-بلوك

درنتیجه در این مطالعه نیز برای بیان رفتار ناپیوستگی‌ها از مدل رفتاری بارتون-باندیس استفاده شده است. همچنین برای بیان رفتار بلوک‌ها نیز از مدل الاستیک ایزوتروپ بهره گرفته شده است. جدول ۲ خصوصیات سنگ بکر و جدول ۳ خصوصیات مربوط به درزه سنگ‌های این منطقه را نشان می‌دهند.

مسائلی انجام می‌شود که شامل فرکانس بالا و مدت زمان پایین در بارگذاری باشند (مانند بارگذاری لرزه‌ای و انفجار). نرم‌افزار *UDEC* قابلیت تحلیل‌های دینامیکی را دارد و این قابلیت باعث شده که این نرم‌افزار در حوزه‌ی وسیعی از مسائل دینامیکی از جمله زلزله، انفجار و انفجار سنگ<sup>۱۳</sup> در اعماق زمین کاربرد پیدا کند [۲۲].

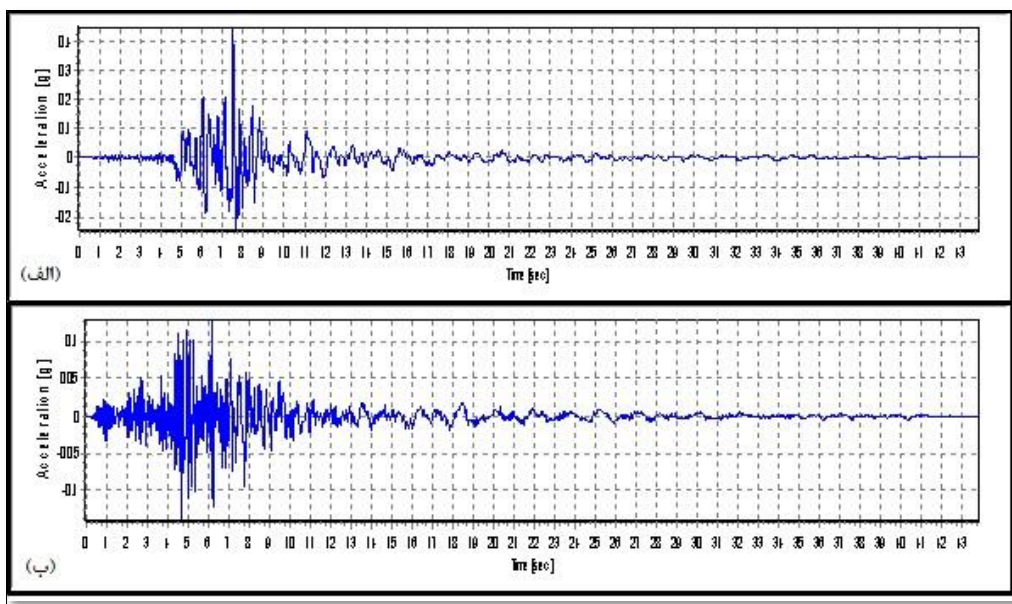
در مرحله‌ی تعادل استاتیکی<sup>۱۱</sup> شرایط مرزی با اعمال ۱ مگاپاسکال تنש هیدرواستاتیک<sup>۱۲</sup> روی هر مرز ارضاء شده است. شکل ۵ شرایط مرزی وارد بر مدل‌ها را نشان می‌دهد. یک تحلیل دینامیکی پس از اتمام تحلیل استاتیکی آغاز می‌شود که در آن معادلات کاملاً دینامیکی حرکت حل می‌شوند و توزیع یا پراکندگی انرژی جنبشی نیز مستقیماً در روند حل تأثیر می‌گذارد. تحلیل‌های دینامیکی روی



شکل ۵: شرایط مرزی مدل‌های ساخته شده در مرحله‌ی مدلسازی استاتیکی

وجود هرگونه مرز غیر واقعی در مسائل دینامیکی سبب می‌شود که اعوجاج ایجاد شده پس از برخورد به این مرزها به داخل محیط برگشت نماید. در صورتی که در واقعیت این موج‌ها می‌توانند در داخل محیط بینهایت منتشر و جذب گردند و به محیط محاسباتی برگشتی نداشته باشند. روشی که در نرم‌افزار *UDEC* به کار گرفته شده است، با اتصال میراگرهای<sup>۱۵</sup> مستقلی در گره‌های مرزی در جهات عمودی و برشی سبب می‌شود تا انرژی موج حجمی ورودی، تقریباً به طور کامل جذب گردد و انعکاس صورت نگیرد. در این مطالعه تمام مرزهای اطراف مدل‌ها از نوع مرزهای جذب‌کننده (ویسکوز) در نظر گرفته شده‌اند. شکل ۷ شرایط مرزی دینامیکی حاکم بر مسئله را نشان می‌دهد.

تنش دینامیکی در نرم‌افزار *UDEC* می‌تواند به صورت بارگذاری داخلی (مانند انفجار) و یا به صورت بارگذاری خارجی به یکی از مرزهای مدل وارد شود (مانند زلزله). در این پژوهش از اطلاعات مربوط به زلزله‌ی پارک‌فیلد<sup>۱۴</sup> که در حیطه‌ی زلزله‌های مبنای طراحی است، به عنوان بارگذاری دینامیکی به مدل‌ها استفاده شده است. این زلزله در تاریخ ۲۸ ژوئن سال ۱۹۶۶ به بزرگی ۶/۱ ریشتر در پارک‌فیلد واقع در ایالت کالیفرنیای آمریکا به وقوع پیوسته است. دو مؤلفه از زلزله‌ی پارک‌فیلد در دو راستای  $x$  و  $y$  به مدل‌ها اعمال شده است. شکل ۶ نشان‌دهنده‌ی شتاب نگاشته‌های حاصل از این زمین‌لرزه است.

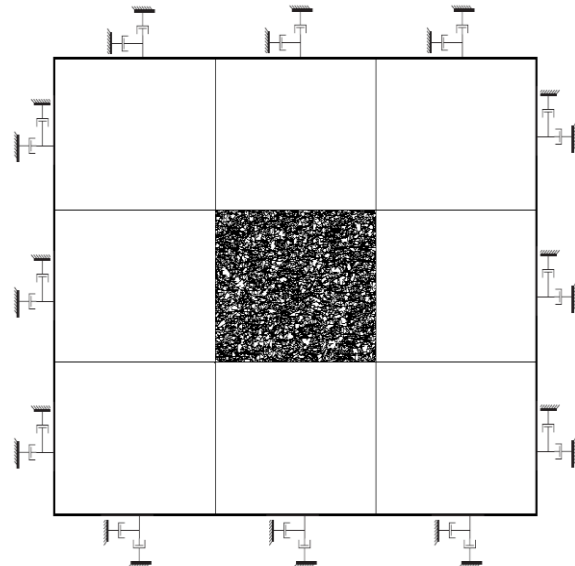


شکل ۶: نمودار مؤلفه‌های مربوط به شتاب‌نگاشت زلزله‌ی پارک‌فیلد (الف) در راستای  $x$  (ب) در راستای  $y$ .

همان‌طور که قبلاً نیز اشاره شد، بعد از انجام مدل‌سازی‌های استاتیکی و دینامیکی، جریان سیال از تمام مدل‌ها عبور داده شده است تا تفاوت در نفوذپذیری آنها هویدا شود. در این مرحله، از فشار منفذی سیال در مرزهای طرفین مدل‌ها به عنوان شرایط مرزی برای جریان سیال در راستای  $x$  و در مرزهای بالا و پایین به عنوان شرایط مرزی برای جریان سیال در راستای  $y$  استفاده شده است. این مسئله برای جریان در راستای  $x$  به صورت شکل ۸-الف و در راستای  $y$  به صورت شکل ۸-ب به مدل‌ها وارد می‌شود.

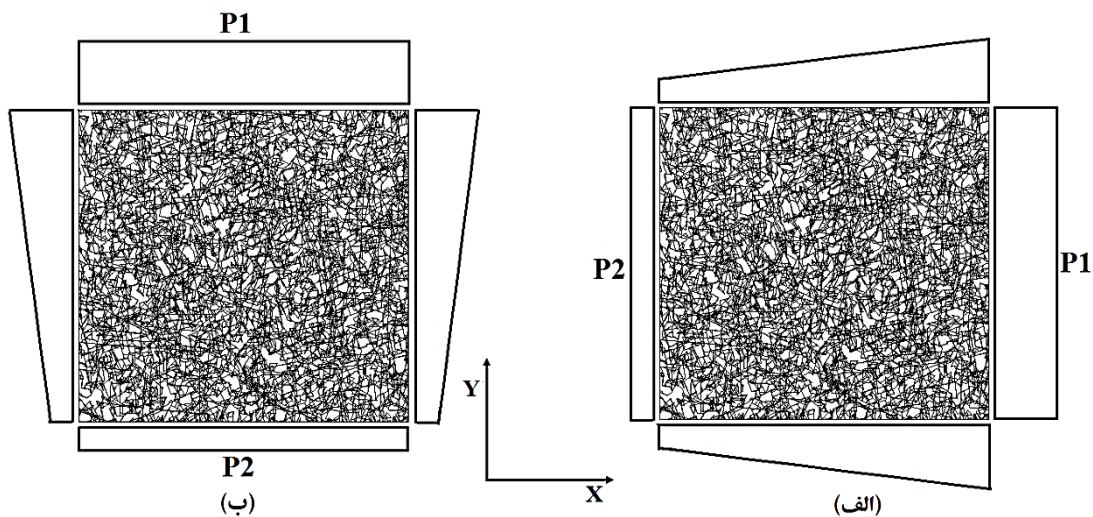
### ۲-۳-۲- نحوی محاسبه‌ی نفوذپذیری

همه‌ی مدل‌ها پس از طی مراحل مکانیکی، مورد نفوذ جریان سیال قرار گرفته و بعد از طی کردن سیکل‌های مورد نیاز و رسیدن به حالت پایدار، دبی خروج سیال از هر مرز در مدل‌ها اندازه‌گیری شده است. با داشتن دبی جریان<sup>۱۷</sup> در هر مرز و آرام فرض کردن جریان سیال در درزه‌ها، می‌توان با استفاده از قانون دارسی، نفوذپذیری مدل را در راستاهای مختلف محاسبه نمود و در نهایت ماتریس نفوذپذیری را برای تمام مدل‌ها به دست آورد. معادلات زیر قانون دارسی را بیان می‌کنند:



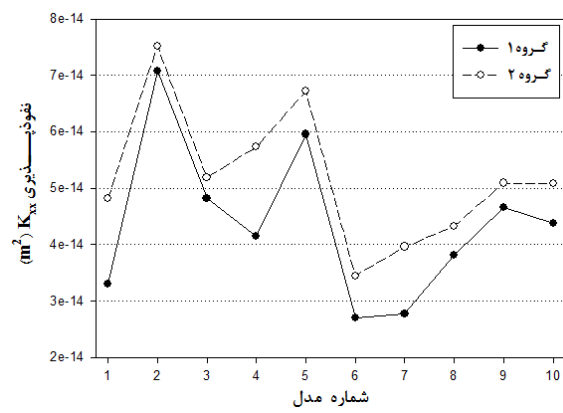
شکل ۷: شرایط مرزی دینامیکی حاکم بر مسئله

هر سیستم دینامیکی دارای میرایی داخلی است. در صورت عدم میرایی، ارتعاش یک سیستم مکانیکی در معرض نیروهای رانشی<sup>۱۸</sup>، تا ابد ادامه می‌یابد. مقداری از میرایی به‌واسطه‌ی افت انرژی در اثر لغزش در طول تماس‌های بلوك‌های درون سیستم و قسمتی نیز به‌واسطه‌ی افت اصطکاک درونی مواد بکر و مقاومت ایجاد شده به‌وسیله‌ی هوا یا سیالات دربرگیرنده‌ی سازه صورت می‌گیرد. در این مطالعه از میرایی محلی استفاده شده است که طبق تجربیات گذشته [۲۳] ضریب آن ۰/۵ درصد در نظر گرفته شده است.

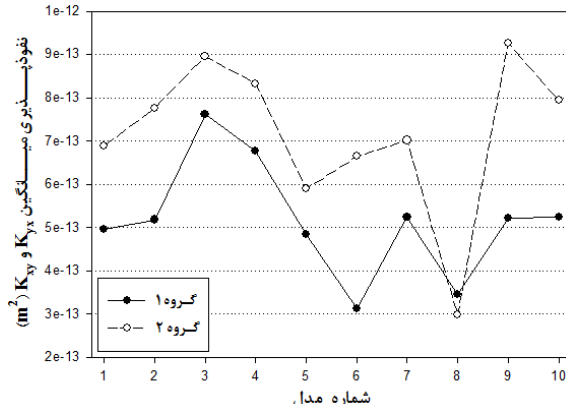


شکل ۸: شرایط مرزی برای جریان سیال. (الف) در راستای x، (ب) در راستای y.

شده‌اند. این نمودارها تفاوت تأثیر بارگذاری دینامیکی و استاتیکی را بر روی نفوذپذیری نشان می‌دهند.



شکل ۹: نمودار  $K_{xx}$  در مدل‌های جریان سیال پس از اعمال میدان تنش هیدرواستاتیک (گروه ۱) و جریان بعد از اعمال زلزله (گروه ۲).



شکل ۱۰: نمودار میانگین مقادیر  $K_{xy}$  و  $K_{yx}$  در مدل‌های جریان سیال پس از اعمال میدان تنش هیدرواستاتیک (گروه ۱) و جریان سیال بعد از اعمال زلزله (گروه ۲).

$$q_{ij} = A \frac{k_{ij}}{\mu} \frac{\partial p}{\partial x} \quad (1)$$

$$q_{ij} = A \frac{k_{ij}}{\mu} \frac{\partial p}{\partial y} \quad (2)$$

در این روابط:  $q_{ij}$  دبی سیال عبوری از یک مرز  $(m^3/s)$  سطح مقطع مدل در راستای انتقال جریان ( $m^2$ )،  $\mu$  نفوذپذیری مدل در راستای انتقال جریان ( $m^2/Pa.s$ )، ویسکوزیته سیال موردنظر (برای آب  $10^{-3} Pa.s$ )،  $\partial p/\partial x$  گرادیان فشار در نظر گرفته شده برای مدل‌ها در راستای  $x$  ( $Pa/m$ ),  $\partial p/\partial y$  گرادیان فشار در نظر گرفته شده برای مدل‌ها در راستای  $y$  ( $Pa/m$ ) هستند. در نهایت ماتریس نفوذپذیری برای یک مدل برابر است با:

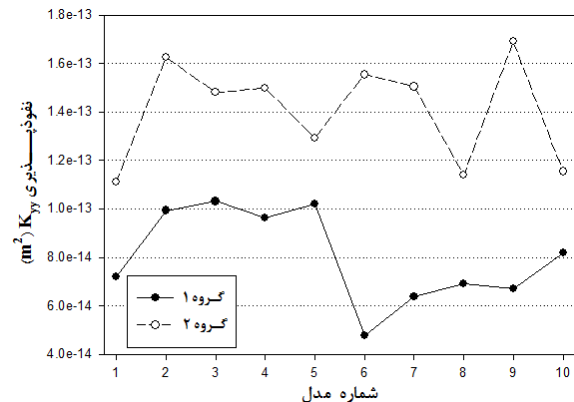
$$K = \begin{bmatrix} k_{xx} & k_{xy} \\ k_{yx} & k_{yy} \end{bmatrix} \quad (3)$$

### ۳- نتایج حاصل از مدلسازی هیدرومکانیکی

نکته‌ی قابل توجه در مطالعه‌ی حاضر این است که مدلسازی دینامیکی بلاfaciale پس از مدلسازی استاتیکی و بر روی همان گزینه‌ها صورت گرفته است. این مسئله بدین معناست که تفاوت در نتایج حاصله در مورد نفوذپذیری مدل‌های استاتیکی و دینامیکی، تنها تأثیر نوع بارگذاری نفوذپذیری، جدا شده و بر اساس شماره‌ی مدل مرتب است. در شکل‌های ۹، ۱۰ و ۱۱ مؤلفه‌های ماتریس

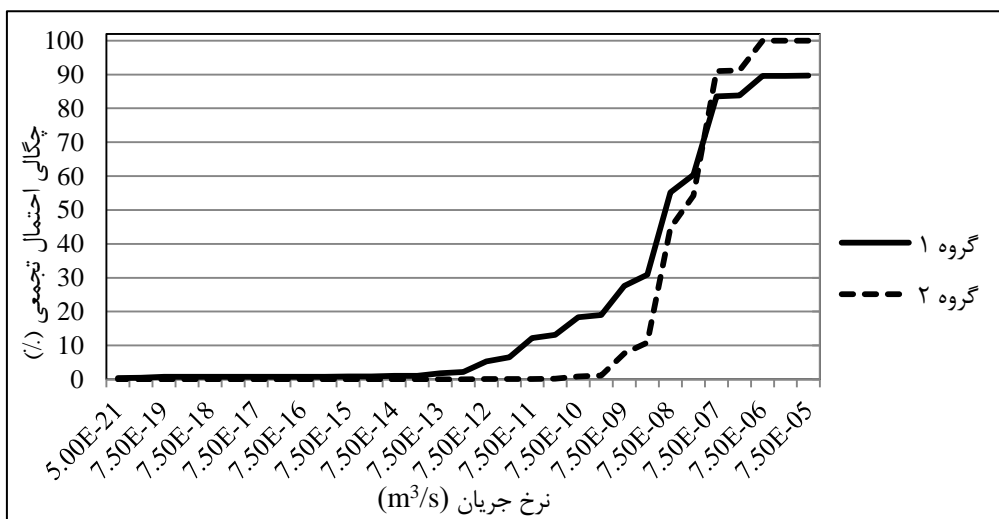
تنشها به صورت استاتیکی، باعث افزایش نفوذپذیری در منطقه‌ی مورد مطالعه شده است. از بررسی جهت‌گیری درزه‌ها در شکل ۱ می‌توان دریافت که شیب عمده‌ی درزه‌های موجود در مدل‌های DFN ساخته شده، در راستای قائم است. همین امر سبب می‌شود که پس از اعمال زلزله، بیشینه تأثیر امواج دینامیکی بر روی نفوذپذیری در راستای قائم باشد. این مسئله در مقایسه‌ی شکل ۱۱ با شکل‌های ۹ و ۱۰ مشهود است.

در شکل ۱۲ نمودار توزیع تجمعی نرخ جریان رسم شده است. همان‌طور که مشاهده می‌شود، در انتهای نمودار درصد فراوانی تجمعی نرخ جریان در مدل‌های دینامیکی به میزان ۱۰٪ بیشتر از مدل‌های استاتیکی است. تغییر روند در نمودار به علت تغییرات در تأثیر بارگذاری دینامیکی در مقادیر پایین و بالای نفوذپذیری است که می‌تواند علل دیگری از جمله وضعیت هندسی ناپیوستگی‌ها داشته باشد. نهایت موارد مذکور نشانگر نرخ بالاتر جریان در مدل‌های دینامیکی است که بیشتر بودن میزان نفوذپذیری را در این مدل‌ها موجب می‌شود.



شکل ۱۱: نمودار  $K_{yy}$  در مدل‌های جریان سیال پس از اعمال میدان تنش هیدرواستاتیک (گروه ۱) و جریان بعد از اعمال زلزله (گروه ۲)

در شکل ۹ بارگذاری دینامیکی زلزله باعث افزایش مقدار  $K_{xx}$  شده است. مقدار میانگین این افزایش  $\approx ۱۸\%$  است. در اکثر مدل‌های شکل ۱۰ نیز بارگذاری دینامیکی اثر افزایشی بر روی  $K_{xy}$  به میزان  $\approx ۳۸\%$  داشته است. همچنین شکل ۱۱ افزایش مقدار  $K_{yy}$  را بعد از اعمال بارگذاری دینامیکی نشان می‌دهد که مقدار میانگین این افزایش نیز  $\approx ۷۵\%$  است. به عبارت دیگر، اعمال تنش‌های مرزی به صورت دینامیکی (زمین‌لرزه) در مقایسه با اعمال



شکل ۱۲: نمودار توزیع تجمعی نرخ جریان

مخازن سنگی خود و دفن زباله‌های هسته‌ای بسیار حیاتی باشد. این پژوهش با هدف بررسی تأثیر بارگذاری دینامیکی زلزله بر نفوذپذیری توده‌سنگ انجام شده است. برای نیل به این هدف، مدل‌سازی‌ها در دو گروه استاتیکی و دینامیکی صورت گرفته و به هر یک از این گروه‌ها به صورت مجزا شرایط مرزی هیدرولیکی اعمال شده و نفوذپذیری هر یک،

#### ۴- نتیجه‌گیری

برخی از ویژگی‌های توده‌سنگ از جمله نفوذپذیری ممکن است تحت شرایط تنش دینامیکی تغییر کنند که این مسئله می‌تواند برای پرتوهای حساسی مثل نیروگاه‌های زیرزمینی، حرکت سیال هیدرولیکی در داخل

## مراجع

- [1] Ivars, M. (2006). Water inflow into excavations in fractured rock-a three-dimensional hydro-mechanical numerical study. International Journal of Rock Mechanics and Mining Sciences, 43, 705-725.
- [2] Levasseur, L., Charlier, R., Frieg, B., & Collin, F. (2010). Hydro-mechanical modelling of the excavation damaged zone around an underground excavation at Mont Terri Rock Laboratory. International Journal of Rock Mechanics and Mining Sciences, 43, 414-425.
- [3] Chen, H. M., Zhao, Z. Y., Choo, L. Q., & Sun, J. P. (2015). Rock cavern stability analysis under different Hydro-Geological conditions using the coupled Hydro-Mechanical model, Rock Mechanics and Rock Engineering.
- [4] Li, L., Liu, H. H. (2015). EDZ formation and associated hydromechanical behaviour around ED-B tunnel: A numerical study based on a two-part Hooke's model (TPHM). KSCE Journal of Civil Engineering, 19(1), 318-331.
- [5] Baghbanan, A. (2008). Scale and stress effects on Hydro-Mecanical properties of fractured rock masses. PhD thesis, Supervisor: Lanru Jing, Royal Institute of Technology (KTH), Stockholm, Sweden.
- [6] Min, K. B., Rutqvist, J., Tsang, Ch. F., & Jing, L. (2004). Stress-dependent permeability of fractured rock masses: a numerical study. International Journal of Rock Mechanics and Mining Sciences, 41, 1191-1210.
- [7] Rejeb, A., Bruel, D. (2001). Hydromechanical effects of shaft sinking at the Sellafield site. International Journal of Rock Mechanics and Mining Sciences, 38, 17-29.
- [8] Min, K. B., Jing, L., & Stefansson, O. (2004). Determining the equivalent permeability tensor for fractured rock masses using a stochastic REV approach: Method and application to the field data from Sellafield, UK. Hydrogeology Journal, 12, 497-510.
- [9] Figueiredo, B., Tsang, Ch. F., Rutqvist, J., & Niemi, A. (2015). A study of changes in deep fractured rock permeability due to coupled hydro-mechanical effects. International Journal of Rock Mechanics and Mining Sciences, 79, 70-85.
- [10] Souley, M., Lopez, Ph., Boulon, M., & Thoraval, A. (2015). Experimental Hydromechanical Characterization and Numerical Modelling of a Fractured and Porous Sandstone. Rock Mechanics and Rock Engineering, 48, 1143-1161.

طبق روند توضیح داده شده، محاسبه شده است.  
مدلسازی‌های انجام شده در این پژوهش نتایج زیر را به همراه داشته است:

- در مقایسه‌ی نفوذپذیری بین مدل‌هایی که تحت تنش هیدرولاستاتیک قرار گرفته و مدل‌هایی که تحت بارگذاری دینامیکی زلزله قرار گرفته‌اند، بار دینامیکی زلزله باعث جابه‌جایی بی‌دری بلوک‌ها و تا حدود اندکی باعث تغییر در نحوه‌ی قرارگیری آنها نسبت به حالت قبل از عبور موج شده است. درنتیجه عبور جریان سیال از مسیرها و اتصالات آسان‌تر شده و باعث افزایش نفوذپذیری شده است. این افزایش در راستای  $x$  برابر با  $12/4$  درصد، در راستای  $y$  برابر با  $51/8$  درصد و در کل  $26$  درصد است. همچنین از آنجایی که بارگذاری دینامیکی بر روی همان مدل‌هایی صورت گرفته که مرحله‌ی استاتیکی تحلیل را گذرانده‌اند، پس تفاوت در نتایج تنها حاصل استاتیکی و یا دینامیکی بودن تنش‌ها است. یعنی در یکسری از مدل‌ها تنش به صورت استاتیکی و در یکسری به صورت دینامیکی اعمال شده است. در نهایت برای مدل‌های استاتیکی مقدار میانگین نفوذپذیری در راستاهای  $x$  و  $y$  به ترتیب برابر با  $4/6 \times 10^{-14}$  و  $8/6 \times 10^{-14}$  مترمربع به‌دست آمده و برای مدل‌های دینامیکی به ترتیب مقادیری برابر با  $5 \times 10^{-14}$  و  $1/3 \times 10^{-13}$  مترمربع حاصل شده است. از مقایسه‌ی این مقادیر و در نظر گرفتن نوع بارگذاری می‌توان نتیجه گرفت که بارگذاری دینامیکی سبب افزایش میزان نفوذپذیری شده است.

- بنا بر دلایل بالا و از آنجایی که نفوذپذیری محاسبه شده در این پژوهش، بر اساس قانون دارسی است، افزایش نفوذپذیری توسط بارگذاری دینامیکی در نتیجه افزایش نرخ جریان سیال در توده‌سنگ موردنظر است. یعنی در حقیقت، بارگذاری دینامیکی باعث افزایش نرخ جریان سیال و درنتیجه افزایش نفوذپذیری در توده‌سنگ شده است.

- همان‌طور که قبل اشاره شد، زلزله‌ای که در این مطالعه مورد استفاده قرار گرفته است، یک زمین‌لرزه‌ی مبنای طراحی است. این در حالی است که اگر از یک زلزله با فرکانس بالاتر استفاده شود، اختلاف‌های بین نفوذپذیری در حالت‌های استاتیکی و دینامیکی مشهودتر خواهد شد.

- [22] Itasca Consulting Group, Inc, (2000). (UDEC) Universal Distinct Element Code (Version 3.1) User's Guide, Minneapolis, Minnesota.
- [23] Sobhani, E. (2012). "Numerical analysis of blast induced waves propagation in continuous and discontinuous media." MSc thesis, Supervisors: Mahmood Vafaian and Alireza Baghbanan, Isfahan University of Technology (IUT), Department of civil engineering (in Persian).
- [11] Selvadurai, A.P.S. (2015), Normal stress-induced permeability hysteresis of a fracture in a granite cylinder. *Geofluids*, 15, 37-47.
- [12] Mirzaei-Paiaman, A., Nourani, M. (2012). Positive effect of earthquake waves on well productivity: Case study: Iranian carbonate gas condensate reservoir. *Scientia Iranica C*, 19(6), 1601-1607.
- [13] Huh, C. (2006). Improved oil recovery by seismic vibration: a preliminary assessment of possible mechanisms, In first International Oil Conference and Exhibition in Mexico. Cancun, Mexico.
- [14] Kouznetsov, O. L., Simkin, E. M., Chilingar, G. V., & Katz, S. A. (1998), Improved oil recovery by application of vibro-energy to waterflooded sandstones. *Journal of Petroleum Science and Engineering*, 19, 191-200.
- [15] Candela, T. H., Brodsky, E. E., Marone, C. H., & Elsworth, D. (2014), Laboratory evidence for particle mobilization as a mechanism for permeability enhancement via dynamic stressing. *Earth and Planetary Science Letters*, 392, 279-291.
- [16] Joolaie, A. and A. Baghbanan (2013), "3D modeling of fluid transmission network in jointed rocks using pipe network model and discrete element method.", 9<sup>th</sup> international civil engineering congress, Isfahan University of Technology, Isfahan, Iran (in Persian).
- [17] Baghbanan, A., Jing, L. (2007), Hydraulic properties of fractured rock masses with correlated fracture length and aperture. *International Journal of Rock Mechanics and Mining Sciences*, 44, 704-719.
- [18] Baghbanan, A., Jing, L. (2008). Stress effects on permeability in a fractured rock mass with correlated fracture length and aperture. *International Journal of Rock Mechanics and Mining Sciences*, 45, 1320-1334.
- [19] Blum, Ph., Mackay, R., Riley, M. S., & Knight, J. L. (2005). Performance assessment of a nuclear waste repository: Upscaling coupled hydro-mechanical properties for far-field transport analysis. *International Journal of Rock Mechanics and Mining Sciences*, 42, 781-792.
- [20] Bhasin, R., Kaynia, A. M. (2004), Static and dynamic simulation of a 700-m high rock slope in western Norway, *Engineering Geology*, 71, 213-226.
- [21] Choi, S. O., Chung, S. K. (2004). Stability analysis of jointed rock slopes with the Barton-Bandis constitutive model in UDEC, *International Journal of Rock Mechanics and Mining Sciences*. 41, 469-475.
- 
- 1- Permeability  
 2- Hydraulic Conductivity  
 3- Hydro Mechanical (H-M)  
 4- Representative Elementary Volume (REV)  
 5- Sellafield  
 6- Cambria  
 7- Discrete Fracture Network  
 8- Block-in-Block theory  
 9- Nuclear Waste  
 10- Dilation angle  
 11- Static equilibrium  
 12- Hydrostatic  
 13- Rock burst  
 14- Parkfield  
 15- Dashpots  
 16- Driving  
 17- Flow rate